



Evaluation Technique Européenne

ETE-15/0282
du 02/06/2015

(Version originale en langue française)

Partie générale

Technical Assessment Body issuing the ETA and designated according to Article 29 of the Regulation (EU) No 305/2011:

Nom commercial
Trade name

EJOT Multifix VSF

Famille de produit
Product family

Cheville à scellement de type "à injection" pour fixation dans le béton : M8 à M24, fers à béton 8 à 25mm
Bonded injection type anchor for use in concrete: sizes M8 to M24, rebar 8 to 25mm

Titulaire
Manufacturer

EJOT Baubefestigungen GmbH
In der Stockwiese 35
57334 BAD LAASPHE
Germany

Usine de fabrication
Manufacturing plants

Usine 1

Cette évaluation contient:
This Assessment contains

22 pages incluant 19 pages d'annexes qui font partie intégrante de cette évaluation
22 pages including 19 pages of annexes which form an integral part of this assessment

Base de l'ETE
Basis of ETA

ETAG 001, Version April 2013, utilisée en tant que EAD
ETAG 001, Edition April 2013 used as EAD

Cette évaluation remplace:
This Assessment replaces

Partie spécifique

1 Description technique du produit

Le système de fixation chimique EJOT Multifix VSF est une cheville à scellement (type à injection) composé d'une cartouche de mortier/résine d'injection Multifix VSF de EJOT et d'un élément d'ancrage en acier. Les éléments d'ancrage sont des tiges filetées en acier zingué, en acier inoxydable ou en acier à haute résistance à la corrosion (HCR) ou des barres d'armature.

L'élément en acier est placé dans un trou foré rempli de mortier/résine et fixé par adhérence entre l'élément métallique, le mortier et le béton. L'élément en acier a un usage prévu pour des profondeurs d'ancrage allant de 4 diamètres jusqu'à 20 diamètres.

Voir figure et description du produit en Annexe A.

2 Définition de l'usage prévu

Les performances données en section 3 sont valables si la cheville est utilisée en conformité avec les spécifications et conditions données en Annexes B.

Les dispositions prises dans la présente Evaluation Technique Européenne reposent sur l'hypothèse que la durée de vie estimée de la cheville pour l'utilisation prévue est de 50 ans. Les indications relatives à la durée de vie ne peuvent pas être interprétées comme une garantie donnée par le fabricant, mais ne doivent être considérées que comme un moyen pour choisir les chevilles qui conviennent à la durée de vie économiquement raisonnable attendue des ouvrages.

3 Performance du produit

3.1 Résistance mécanique et stabilité (BWR 1)

| Caractéristique essentielle | Performance |
|---|-----------------|
| Résistance caractéristique en traction pour les tiges filetées selon TR029 | voir Annexe C 1 |
| Résistance caractéristique en traction pour les fers à béton selon TR029 | voir Annexe C 2 |
| Résistance caractéristique en cisaillement pour les tiges filetées selon TR029 | voir Annexe C 3 |
| Résistance caractéristique en cisaillement pour les fers à béton selon TR029 | voir Annexe C 4 |
| Résistance caractéristique en traction pour les tiges filetées selon CEN/TS | voir Annexe C 5 |
| Résistance caractéristique en traction pour les fers à béton selon CEN/TS | voir Annexe C 6 |
| Résistance caractéristique en cisaillement pour les tiges filetées selon CEN/TS | voir Annexe C 7 |
| Résistance caractéristique en cisaillement pour les fers à béton selon CEN/TS | voir Annexe C 8 |
| Déplacements pour les tiges filetées et les fers à béton | voir Annexe C 9 |

3.2 Sécurité en cas d'incendie (BWR 2)

| Caractéristique essentielle | Performance |
|-----------------------------|---|
| Réaction au feu | Les chevilles satisfont aux exigences de la classe A1 |
| Résistance au feu | Performances non déterminées (PND) |

3.3 Hygiène, santé et environnement (BWR 3)

En ce qui concerne les substances dangereuses contenues dans la présente Evaluation Technique Européenne, il peut y avoir des exigences applicables aux produits relevant de son domaine d'emploi (exemple: transposition de la législation européenne et des dispositions législatives, réglementaires et nationales). Afin de respecter les dispositions du Règlement Produits de Construction, ces exigences doivent également être satisfaites lorsque et où elles s'appliquent.

3.4 Sécurité d'utilisation (BWR 4)

Pour les exigences essentielles de Sécurité d'utilisation les mêmes critères que ceux mentionnés dans les exigences essentielles Résistance Mécanique et Stabilité sont applicables.

3.5 Protection contre le bruit (BWR 5)

Non applicable.

3.6 Economie d'énergie et isolation thermique (BWR 6)

Non applicable.

3.7 Aspects généraux relatifs à l'aptitude à l'emploi

La durabilité et l'aptitude à l'usage ne sont assurées que si les spécifications pour l'usage prévu conformément à l'annexe B1 sont maintenues.

4 Evaluation et vérification de la constance des performances (EVCP)

Conformément à la décision 96/582/EC de la Commission Européenne¹, tel que amendée, le système d'évaluation et de vérification de la constance des performances (Voir Annexe V du règlement n° 305/2011 du parlement Européen) donné dans le tableau suivant s'applique.

| Produit | Usage prévu | Niveau ou classe | Système |
|------------------------------------|--|------------------|---------|
| Ancrages métalliques pour le béton | Pour fixer et/ou soutenir les éléments structurels en béton ou les éléments lourds comme l'habillage et les plafonds suspendus | — | 1 |

5 Données techniques nécessaires pour la mise en place d'un système Evaluation et de vérification de la constance des performances (EVCP)

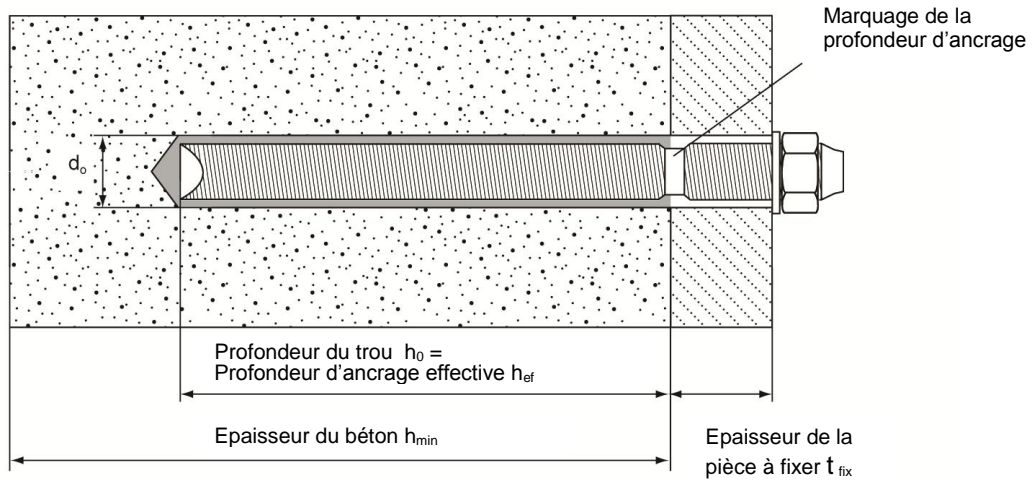
Les données techniques nécessaires à la mise en œuvre du système d'évaluation et de vérification de la constance des performances (EVCP) sont fixées dans le plan de contrôle déposé au Centre Scientifique et Technique du Bâtiment.

Le fabricant doit, sur la base d'un contrat, impliquer un organisme notifié pour les tâches visant la délivrance du certificat de conformité CE dans le domaine des fixations, basé sur ce plan de contrôle.

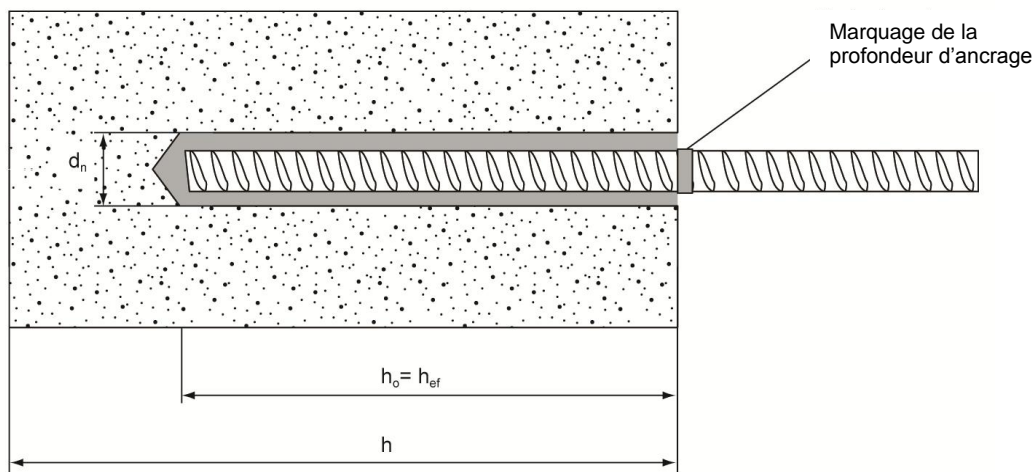
Délivré à Marne La Vallée le 02/06/2015 par

Charles Baloche
Directeur technique

Tiges filetées M8, M10, M12, M16, M20, M24



Barres d'armatures Ø 8, Ø 10, Ø 12, Ø 14, Ø 16, Ø 20, Ø 25 selon l'Annexe A4



Résine pour scellement chimique EJOT Multifix VSF

Description du produit

Conditions d'installation

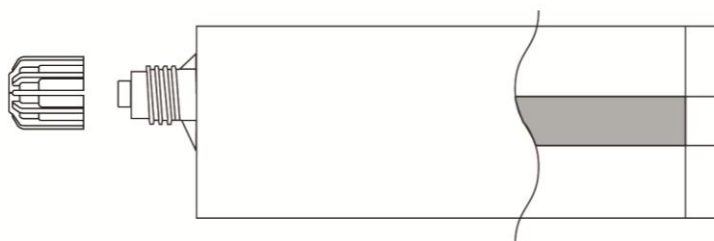
Annexe A1

Résine d'injection : EJOT Multifix VSF

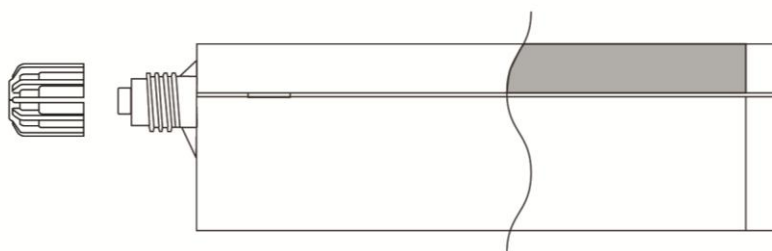
Cartouche avec poche souple
165ml - 410ml



Cartouche coaxiale
380ml - 410ml



Cartouche côte-à-côte
235ml - 825ml

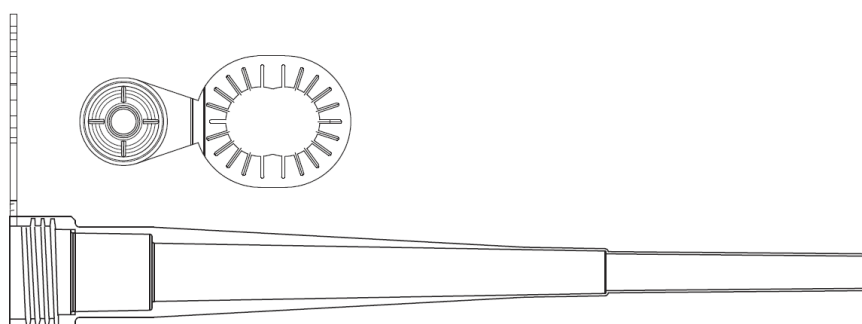


Marquage:

Multifix VSF

Numéro de lot, soit la date de péremption, soit la date de fabrication avec la durée de stockage

Buse mélangeuse et son attache



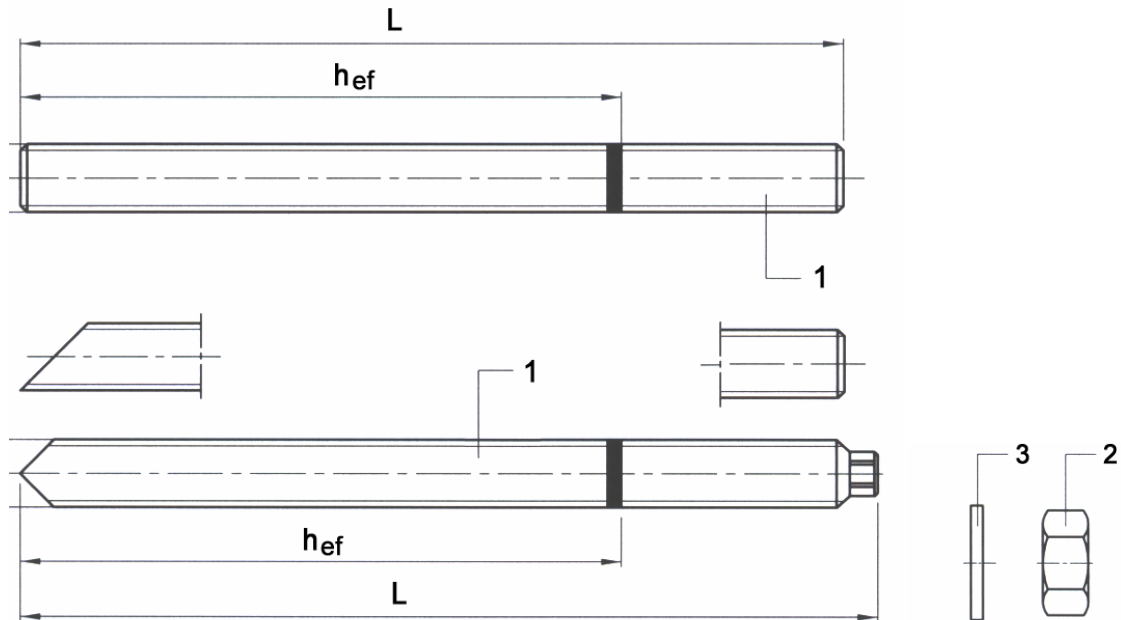
EJOT Multifix VSF

Description du produit
Système d'injection

Annexe A2

Elément d'ancrage et barres d'armature:

Tige filetée en acier, écrou et rondelle
 Tailles M8, M10, M12, M16, M20, M24.



- Tiges commerciales standards avec:
- Matériaux, dimensions et propriétés mécaniques (Tableau 1a)
 - Certificat d'inspection 3.1 selon EN 10204:2004
 - Marque de la profondeur d'ancrage

Barre d'armature

Diamètre Ø 8mm, Ø 10mm, Ø 12mm, Ø 14mm, Ø 16mm, Ø 20mm, Ø 25mm



EJOT Multifix VSF

Description du produit

Tiges filetées et fers à béton

Annexe A3

Tableau A1: Matériaux

| Désignation | Matériau |
|--|--|
| Tiges filetées en acier zingué | |
| Tige filetée M8 – M24 | Classe de résistance 5.8, 8.8, 10.9 EN ISO 898-1 Acier électro zingué $\geq 5\mu\text{m}$ EN ISO 4042 Version galvanisée à chaud $\geq 45\mu\text{m}$ EN ISO 10684 |
| Rondelle ISO 7089 | Acier électro zingué EN ISO 4042 ou galvanisé à chaud EN ISO 10684 |
| Ecrou EN ISO 4032 | Classe de résistance 8 EN ISO 898-2 acier électro zingué $\geq 5\mu\text{m}$ EN ISO 4042 version galvanisée à chaud $\geq 45\mu\text{m}$ EN ISO 10684 |
| Tiges filetées en acier inoxydable | |
| Tige filetée M8 – M24 | Pour \leq M24: classe de résistance 70 EN ISO 3506-1 Acier inoxydable 1.4401; 1.4404; 1.4578; 1.4571; 1.4439; 1.4362 EN 10088 |
| Rondelle ISO 7089 | Acier inoxydable 1.4401; 1.4404; 1.4578; 1.4571; 1.4439; 1.4362 EN 10088 |
| Ecrou EN ISO 4032 | Classe de résistance 70 EN ISO 3506-2 acier inoxydable 1.4401; 1.4404; 1.4578; 1.4571; 1.4439; 1.4362 EN 10088 |
| Tiges filetées en acier à haute résistance à la corrosion | |
| Tige filetée M8 – M24 | Pour \leq M20: $R_m = 800 \text{ N/mm}^2$; $R_{p0,2} = 640 \text{ N/mm}^2$ Pour $>$ M20: $R_m = 700 \text{ N/mm}^2$; $R_{p0,2} = 400 \text{ N/mm}^2$ Acier à haute résistance à la corrosion 1.4529, 1.4565 EN 10088 |
| Rondelle ISO 7089 | Acier à haute résistance à la corrosion 1.4529, 1.4565 EN 10088 |
| Ecrou EN ISO 4032 | Classe de résistance 70 EN ISO 3506-2 Acier à haute résistance à la corrosion 1.4529, 1.4565 EN 10088 |

Table A2: Propriétés des barres d'armatures (fers à béton)

| Forme du produit | | Barres et fils redressés | |
|---|--|--------------------------|-------------------------|
| Classe | | B | C |
| Limite caractéristique d'élasticité f_{yk} ou $f_{0,2k}$ (MPa) | | 400 à 600 | |
| Valeur minimale de $k = (f_t/f_y)_k$ | | $\geq 1,08$ | $\geq 1,15$ $< 1,35$ |
| Valeur caractéristique de la déformation relative sous charge maximale, ϵ_{uk} (%) | | $\geq 5,0$ | $\geq 7,5$ |
| Aptitude au pliage | | Essai de pliage/dépliage | |
| Tolérance maximale vis-à-vis de la masse nominale (barre ou fil individuel) (%) | Dimension nominale de la barre (mm) ≤ 8 | $\pm 6,0$ | |
| | > 8 | $\pm 4,5$ | |
| Adhérence: Surface projetée des nervures ou verrous, $f_{R,min}$ (détermination selon EN 15630) | Dimension nominale de la barre (mm) 8 à 12 | 0,040 | |
| | > 12 | 0,056 | |

Hauteur des nervures h_{rib} :

La hauteur des nervures h_{rib} doit satisfaire l'équation: $0,05 \cdot d \leq h_{rib} \leq 0,07 \cdot d$
avec: d = diamètre nominal de la barre

EJOT Multifix VSF

Description du produit

Tiges filetées et fers à béton

Annexe A4

Précisions sur l'emploi prévu

Ancrages soumis à:

- Actions statiques et quasi-statiques

Matériaux supports:

- Béton fissuré et béton non fissuré.
- Béton armé ou non armé de masse volumique courante, de classes de résistance C20/25 au minimum à C50/60 au maximum, conformément au document EN 206: 2000-12.

Plage de température:

- Ta: - 40°C à +40°C (température max à long terme +24°C et température max à court terme +40°C)
- Tb: - 40°C à +80°C (température max à court terme +80°C et température max à long terme +50°C)

Conditions d'emploi (conditions d'environnement):

- Structures soumises à une ambiance intérieure sèche (zinc coated steel, stainless steel, high corrosion resistance steel).
- Structures soumises à des ambiances intérieures continuellement humides, pour autant que les conditions ambiantes ne soient pas particulièrement agressives (aciers inoxydables ou à haute résistance à la corrosion).
- Structures soumises à des ambiances intérieures continuellement humides, avec des conditions particulièrement agressives (aciers à haute résistance à la corrosion).
- Structures soumises à une ambiance extérieure y compris atmosphère industrielle et à proximité de la mer pour autant que les conditions ambiantes ne soient pas particulièrement agressives (aciers inoxydables ou à haute résistance à la corrosion).

Note: Des conditions particulièrement agressives sont par exemple l'immersion alternée et continue dans l'eau de mer ou zone soumise à des aspersion d'eau de mer, atmosphère contenant du chlore dans les piscines couvertes ou atmosphère soumise à pollution chimique extrême (par ex. à proximité d'installations de désulfuration de gaz et fumées ou dans des tunnels routiers avec salage l'hiver).

Conception:

- Les ancrages sont conçus conformément au Technical Report TR 029 de l'EOTA "Conception-Calcul des chevilles à scellement" et la norme CEN / TS 1992-4-5 "Conception-calcul des éléments de fixations pour béton" sous la responsabilité d'un ingénieur expert en ancrages et travaux de bétonnage.
- Des plans et notes de calculs vérifiables sont préparés en tenant compte des charges devant être ancrées. La position de la cheville est indiquée sur les plans de conception.

Installation:

- En béton sec ou humide (catégorie 1).
- Perçage du trou en mode de rotation.
- Les installations au plafond ne sont pas permises.
- Installation en béton fissuré uniquement pour les tiges filetées M12 et M16
- Mise en place de la cheville réalisée par du personnel qualifié, sous le contrôle du responsable technique du chantier.

EJOT Multifix VSF

Emploi prévu

Spécifications

Annexe B1

Tableau B1: Méthodes de nettoyage du trou foré – Tailles des écouvillons

| Tiges filetées et barres d'armature | Taille | Diamètre nominal du foret d _o (mm) | Ecouvillon métallique | Méthode de nettoyage du trou | |
|---|--------|---|---|---------------------------------|--------------------------------------|
| | | | | Nettoyage manuel (MAC) | Nettoyage à air comprimé (CAC) |
| | |  |  | | |
| Tige  | M8 | 10 | 12mm | Oui ... h _{ef} ≤ 80 mm | Oui |
| | M10 | 12 | 14mm | Oui ... h _{ef} ≤ 100mm | |
| | M12 | 14 | 16mm | Oui ... h _{ef} ≤ 120mm | |
| | M16 | 18 | 20mm | Oui ... h _{ef} ≤ 160mm | |
| | M20 | 24 | 26mm | Oui ... h _{ef} ≤ 200mm | |
| | M24 | 28 | 30mm | Oui ... h _{ef} ≤ 240mm | |
| Barre  | Ø8 | 12 | 14mm | Oui ... h _{ef} ≤ 80 mm | Oui |
| | Ø10 | 14 | 16mm | Oui ... h _{ef} ≤ 100mm | |
| | Ø12 | 16 | 18mm | Oui ... h _{ef} ≤ 120mm | |
| | Ø14 | 18 | 20mm | Oui ... h _{ef} ≤ 140mm | |
| | Ø16 | 20 | 22mm | Oui ... h _{ef} ≤ 160mm | |
| | Ø20 | 25 | 28mm | Oui ... h _{ef} ≤ 200mm | |
| | Ø25 | 32 | 34mm | Oui ... h _{ef} ≤ 240mm | |

Nettoyage manuel (MAC):

La pompe manuelle EJOT recommandée pour chasser la poussière des trous de diamètre d_o ≤ 24 mm et de profondeur h_o ≤ 10d



Nettoyage à air comprimé (CAC):

Pistolet à air comprimé recommandé comportant une buse d'un diamètre de 3,5 mm minimum.

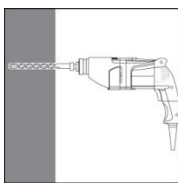
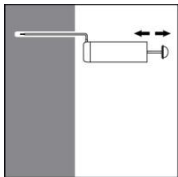
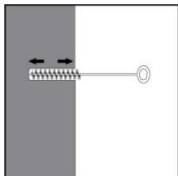
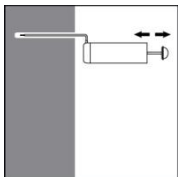
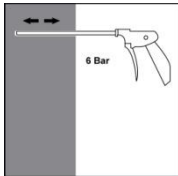
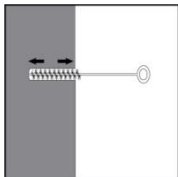
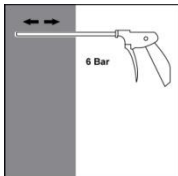


EJOT Multifix VSF

Emploi prévu
Ecouvillon de nettoyage
Pistolets pour l'injection

Annexe B2

Tableau B2a: Instructions de pose - Perçage du trou, Nettoyage et Mise en place

| Mode d'emploi | | |
|---|------------|---|
| Perçage du trou | | |
|  | | Perçer le trou à la profondeur d'implantation requise en utilisant un foret carbure de dimensions appropriées. |
| Nettoyage du trou Avant de poser la cheville, le trou doit être exempt de poussières et de débris. | | |
| a) Nettoyage Manuel (MAC) pour des trous de diamètres $d_0 \leq 24$ mm et de profondeur de trou $h_0 \leq 10d$ | | |
|  | X 4 | La pompe manuelle EJOT peut être utilisée pour souffler les poussières hors de trous de diamètre $d_0 \leq 24$ mm et de profondeur jusqu'à $h_{ef} \leq 10d$. Souffler au moins 4 fois depuis le fond du trou et utiliser une rallonge si nécessaire. |
|  | X 4 | Brosser 4 fois avec l'écouvillon de la taille spécifiée (voir Tableau B3) en insérant l'écouvillon métallique EJOT au fond du trou (si nécessaire utiliser une rallonge) dans un mouvement de torsion et en le retirant. |
|  | X 4 | Souffler à nouveau 4 fois avec la pompe manuelle. |
| b) Nettoyage avec Air Comprimé (CAC) pour tous diamètres de trou d_0 et toutes profondeurs de trou | | |
|  | X 2 | Souffler 2 fois depuis le fond du trou (si nécessaire avec une extension de buse) et sur toute sa profondeur avec de l'air comprimé exempt d'huile (min. 6 bar à 6 m³/h). |
|  | X 2 | Brosser 2 fois avec l'écouvillon de taille spécifiée (voir Tableau B1) en insérant l'écouvillon métallique EJOT au fond du trou (si nécessaire utiliser une extension) avec un mouvement de torsion et en le retirant. |
|  | X 2 | Souffler à nouveau 2 fois avec la pompe à air comprimé. |

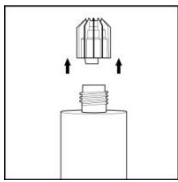
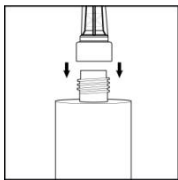
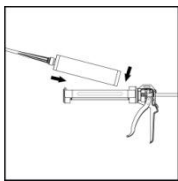
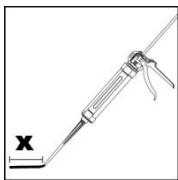
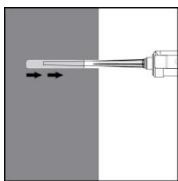
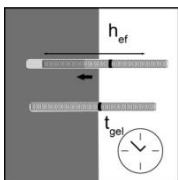
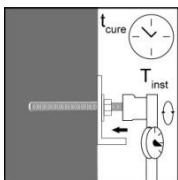
EJOT Multifix VSF

Emploi prévu

Instructions de pose données par le fabricant

Annexe B3

Tableau B2b: Instructions de pose - Perçage du trou, Nettoyage et Mise en place

| Mode d'emploi | |
|---|--|
|  | Retirer le capuchon à vis de la cartouche. |
|  | Fixer soigneusement la buse mélangeuse. Ne rien modifier de la buse mélangeuse. Vérifier que la partie mélangeuse est bien dans la buse mélangeuse. N'utiliser que la buse qui a été fournie. |
|  | Insérer la cartouche dans le porte-cartouche EJOT. |
|  | Rejeter les premières pressions. En fonction de la taille de la cartouche, une certaine quantité de résine doit être jetée. Quantités à éliminer : - 5cm pour les poches souples (Foil Pack) de 150ml, 300ml et 400ml. - 10cm pour toute autre cartouche. |
|  | Injecter la résine à partir du fond du trou vers l'extrémité et retirer lentement et progressivement la buse mélangeuse après chaque pression. Remplir le trou jusqu'à environ les 2/3, ou comme demandé pour assurer que l'espace annulaire entre la cheville et le béton soit complètement rempli sur toute la longueur d'implantation. |
|  | Avant la pose, s'assurer que la tige filetée est sèche et exempte de produits parasites. Dans le temps pratique d'utilisation t_{gel} (avant durcissement de la résine), insérer la tige filetée à la profondeur d'implantation. Les durées pratiques d'utilisation t_{gel} sont données dans le Tableau B3. |
|  | La cheville peut être mise en charge à la fin du temps de durcissement requis t_{cure} (voir Tableau B3). Le couple de serrage appliqué ne doit pas excéder les valeurs T_{max} données dans le Tableau B4. |

EJOT Multifix VSF

Emploi prévu

Instructions de pose données par le fabricant

Annexe B3

Tableau B3: Durée pratique d'utilisation et temps de durcissement

| Température minimale du matériau support C° | Durée pratique d'utilisation en béton sec/humide | Temps de durcissement |
|---|---|--------------------------|
| $-10^{\circ}\text{C} \leq T_{\text{mat supp.}} < -5^{\circ}\text{C}$ | 125 min | 8 h |
| $-5^{\circ}\text{C} \leq T_{\text{mat supp}} < 0^{\circ}\text{C}$ | 80 min | 160 min |
| $0^{\circ} \leq T_{\text{mat supp}} < 5^{\circ}\text{C}$ | 25 min | 90 min |
| $5^{\circ}\text{C} \leq T_{\text{mat supp}} < 10^{\circ}\text{C}$ | 17 min | 70 min |
| $10^{\circ}\text{C} \leq T_{\text{mat supp}} < 20^{\circ}\text{C}$ | 12 min | 65 min |
| $20^{\circ}\text{C} \leq T_{\text{mat supp}} < 30^{\circ}\text{C}$ | 6 min | 60 min |
| $30^{\circ}\text{C} \leq T_{\text{mat supp}} \leq 40^{\circ}\text{C}$ | 3 min | 45 min |

La température de la résine doit être $\geq 20^{\circ}\text{C}$

EJOT Multifix VSF

Emploi prévu

Durée pratique d'utilisation et temps de durcissement

Annexe B4

Tableau B4: Paramètres de pose des tiges d'ancrages

| Dimension de l'ancrage | | M8 | M10 | M12 | M16 | M20 | M24 |
|--|----------------|---------------------------------|-----|-----|-----------------|-----|-----|
| Diamètre de la tige d'ancrage | d [mm] | 8 | 10 | 12 | 16 | 20 | 24 |
| Profondeur d'ancrage effective h_{ef} et profondeur du trou h_0 | min [mm] | 60 | 60 | 70 | 80 | 90 | 100 |
| | max [mm] | 160 | 200 | 240 | 320 | 400 | 480 |
| Profondeur d'ancrage nominale | h_{ef} [mm] | 80 | 90 | 110 | 125 | 170 | 210 |
| Diamètre nominal de la mèche | d_o [mm] | 10 | 12 | 14 | 18 | 24 | 28 |
| Diamètre de passage dans l'élément à fixer | d_f [mm] | 9 | 12 | 14 | 18 | 22 | 26 |
| Couple de serrage maximum | T_{max} [Nm] | 10 | 20 | 30 | 60 | 90 | 140 |
| Epaisseur minimale du support béton | h_{min} [mm] | $h_{ef} + 30mm$ $\geq 100mm$ | | | $h_{ef} + 2d_o$ | | |
| Entraxe minimal | S_{min} [mm] | 40 | 50 | 60 | 80 | 100 | 120 |
| Distance au bord minimale | C_{min} [mm] | 40 | 50 | 60 | 80 | 100 | 120 |

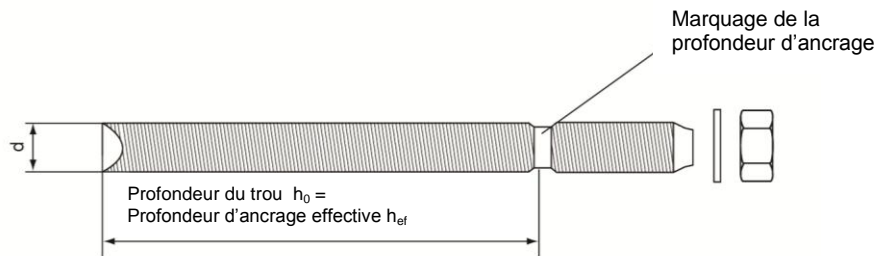
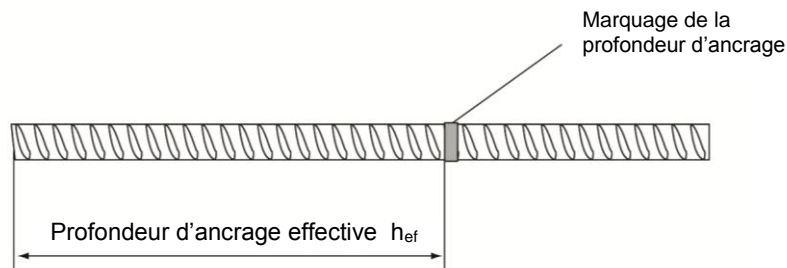


Tableau B5 : Paramètres de pose des barres d'armature

| Diamètres des barres d'armature | | Ø8 | Ø10 | Ø12 | Ø14 | Ø16 | Ø20 | Ø25 |
|--|----------------|---------------------------------|-----|-----|-----------------|-----|-----|-----|
| Diamètre de l'élément | D [mm] | 8 | 10 | 12 | 14 | 16 | 20 | 25 |
| Profondeur d'ancrage effective h_{ef} et profondeur du trou h_0 | min [mm] | 60 | 60 | 70 | 75 | 80 | 90 | 100 |
| | max [mm] | 160 | 200 | 240 | 280 | 320 | 400 | 500 |
| Diamètre nominal de la mèche | d_o [mm] | 12 | 14 | 16 | 18 | 20 | 25 | 32 |
| Epaisseur minimale du support béton | h_{min} [mm] | $h_{ef} + 30mm$ $\geq 100mm$ | | | $h_{ef} + 2d_o$ | | | |
| Entraxe minimal | S_{min} [mm] | 40 | 50 | 60 | 70 | 80 | 100 | 125 |
| Distance au bord minimale | C_{min} [mm] | 40 | 50 | 60 | 70 | 80 | 100 | 125 |



EJOT Multifix VSF

Emploi prévu

Données d'installation

Annexe B5

| EJOT Multifix VSF avec tiges filetées | | | M8 | M10 | M12 | M16 | M20 | M24 |
|---|---|--------|----------------------|-------------------|-------------------|-------------------|-------------------|-------------------|
| Rupture de l'acier | | | | | | | | |
| Résistance caractéristique, classe 5.8 | $N_{Rk,s}$ [kN] | | 18 | 29 | 42 | 79 | 123 | 177 |
| Résistance caractéristique, classe 8.8 | $N_{Rk,s}$ [kN] | | 29 | 46 | 67 | 126 | 196 | 282 |
| Coefficient partiel de sécurité | $\gamma_{Ms,N}^{1)}$ [-] | | 1,5 | | | | | |
| Résistance caractéristique, classe 10.9 | $N_{Rk,s}$ [kN] | | 36 | 58 | 84 | 157 | 245 | 353 |
| Coefficient partiel de sécurité | $\gamma_{Ms,N}^{1)}$ [-] | | 1.4 | | | | | |
| Résistance caractéristique, A4-70 | $N_{Rk,s}$ [kN] | | 26 | 41 | 59 | 110 | 172 | 247 |
| Coefficient partiel de sécurité | $\gamma_{Ms,N}^{1)}$ [-] | | 1,87 | | | | | |
| Résistance caractéristique, HCR | $N_{Rk,s}$ [kN] | | 29 | 46 | 67 | 126 | 196 | 247 |
| Coefficient partiel de sécurité | $\gamma_{Ms,N}^{1)}$ [-] | | 1,5 | | | | | |
| Rupture combinée par extraction-glisement et par cône de béton | | | | | | | | |
| Diamètre de la tige filetée | d [mm] | | 8 | 10 | 12 | 16 | 20 | 24 |
| Adhérence caractéristique dans le béton non fissuré C20/25 | | | | | | | | |
| Plage de température I ²⁾ : 40°C/24°C | τ_{Rk} [N/mm ²] | | 10.0 | 9.5 | 9.0 | 8.0 | 7.5 | 7.0 |
| Plage de température II ²⁾ : 80°C/50°C | τ_{Rk} [N/mm ²] | | 9.0 | 8.0 | 7.5 | 7.0 | 6.5 | 6.0 |
| Facteur d'augmentation de $\tau_{Rk,p}$ dans le béton non fissuré | ψ_c | C30/37 | 1,12 | | | | | |
| | | C40/50 | 1,23 | | | | | |
| | | C50/60 | 1,30 | | | | | |
| Adhérence caractéristique dans le béton fissuré C20/25 | | | | | | | | |
| Plage de température I ²⁾ : 40°C/24°C | τ_{Rk} [N/mm ²] | | ⁻⁵⁾ | ⁻⁵⁾ | 3.5 | 3.5 | ⁻⁵⁾ | ⁻⁵⁾ |
| Plage de température II ²⁾ : 80°C/50°C | τ_{Rk} [N/mm ²] | | ⁻⁵⁾ | ⁻⁵⁾ | 3.0 | 3.0 | ⁻⁵⁾ | ⁻⁵⁾ |
| Facteur d'augmentation de $\tau_{Rk,p}$ dans le béton non fissuré | ψ_c | C30/37 | 1,04 | | | | | |
| | | C40/50 | 1,07 | | | | | |
| | | C50/60 | 1,09 | | | | | |
| Rupture par fendage ²⁾ | | | | | | | | |
| Distance au bord $c_{cr,sp}$ [mm] pour | $h / h_{ef}^{3)} \geq 2,0$ | | 1,0 h_{ef} | | | | | |
| | $2,0 > h / h_{ef}^{3)} > 1,3$ | | 4,6 h_{ef} - 1,8 h | | | | | |
| | $h / h_{ef}^{3)} \leq 1,3$ | | 2,26 h_{ef} | | | | | |
| Entraxe | $s_{cr,sp}$ [mm] | | 2 $c_{cr,sp}$ | | | | | |
| Coefficient partiel de sécurité | $\gamma_{Mp} = \gamma_{Mc} = \gamma_{Msp}^{1)}$ [-] | | 1,5 ⁴⁾ | 1,5 ⁴⁾ | 1,5 ⁴⁾ | 1,5 ⁴⁾ | 1,5 ⁴⁾ | 1,5 ⁴⁾ |

¹⁾ En absence de régulation nationale

²⁾ Explications, voir Annexe B1

³⁾ h . épaisseur de béton, h^{ef} ... profondeur d'ancrage effective

⁴⁾ Le coefficient partiel de sécurité $\gamma_2 = 1,0$ est inclus

⁵⁾ Non qualifié en béton fissuré

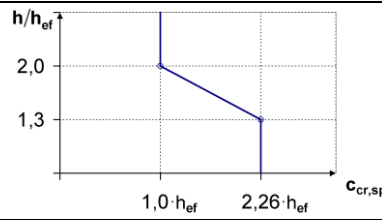
EJOT Multifix VSF

Conception-calcul selon le TR 029

Résistance caractéristique en traction pour les tiges filetées

Annexe C1

| EJOT Multifix VSF avec barres d'armature | | | Ø8 | Ø10 | Ø12 | Ø14 | Ø16 | Ø20 | Ø25 |
|---|--|----------------------|--|-------------------|-------------------|-------------------|-------------------|-------------------|-------------------|
| Rupture de l'acier | | | | | | | | | |
| Résistance caractéristique pour barres BSt 500 S selon DIN 488 ¹⁾ | $N_{Rk,s}$ | [kN] | 28 | 43 | 62 | 85 | 111 | 173 | 270 |
| Coefficient partiel de sécurité pour barres BSt 500 S selon DIN 488 ²⁾ | $\gamma_{Ms,N}$ ³⁾ | [-] | 1,4 | | | | | | |
| Rupture combinée par extraction-glisement et par cône de béton | | | | | | | | | |
| Diamètre de la barre | d | [mm] | 8 | 10 | 12 | 14 | 16 | 20 | 25 |
| Adhérence caractéristique dans le béton non fissuré C20/25 | | | | | | | | | |
| Plage de température I ⁴⁾ : 40°C/24°C | τ_{Rk} | [N/mm ²] | 7,0 | 7,5 | 7,0 | 7,0 | 6,5 | 6,5 | 6,0 |
| Plage de température II ⁴⁾ : 80°C/50°C | τ_{Rk} | [N/mm ²] | 6,5 | 6,5 | 6,0 | 6,0 | 6,0 | 5,5 | 5,5 |
| Facteur d'augmentation de $\tau_{Rk,p}$ dans le béton non fissuré | ψ_c | C30/37 | 1,12 | | | | | | |
| | | C40/50 | 1,23 | | | | | | |
| | | C50/60 | 1,30 | | | | | | |
| Rupture par fendage | | | | | | | | | |
| Distance au bord $c_{cr,sp}$ [mm] pour | $h / h_{ef}^{5)} \geq 2,0$ | | 1,0 h_{ef} | | | | | | |
| | $2,0 > h / h_{ef}^{5)} > 1,3$ | | 4,6 h_{ef} - 1,8 h | | | | | | |
| | $h / h_{ef}^{5)} \leq 1,3$ | | 2,26 h_{ef} | | | | | | |
| Entraxe | | | $2 c_{cr,sp}$ | | | | | | |
| Coefficient partiel de sécurité | $\gamma_{Mp} = \gamma_{Mc} = \gamma_{Msp}$ ³⁾ | [-] | 1,8 ⁶⁾ | 1,8 ⁶⁾ | 1,8 ⁶⁾ | 1,8 ⁶⁾ | 1,8 ⁶⁾ | 1,8 ⁶⁾ | 1,8 ⁶⁾ |



¹⁾ La résistance caractéristique $N_{Rk,s}$ pour des barres d'armatures ne respectant pas les exigences de la DIN 488 doit être calculée selon le rapport technique TR029, Equation (5.1).

²⁾ Le coefficient partiel de sécurité $\gamma_{Ms,N}$ pour des barres d'armatures ne respectant pas les exigences de la DIN 488 doit être calculée selon le rapport technique TR029, Equation (3.3a).

³⁾ En absence de régulation nationale

⁴⁾ Explications, voir Annexe B1

⁵⁾ h, épaisseur de béton, h_{ef} profondeur d'ancrage effective

⁶⁾ Le coefficient partiel de sécurité $\gamma_2 = 1,2$ est inclus

EJOT Multifix VSF

Conception-calcul selon le TR 029

Résistance caractéristique en traction pour les fers à béton

Annexe C2

| EJOT Multifix VSF avec tiges filetées | | M 8 | M 10 | M 12 | M 16 | M 20 | M 24 | |
|---|--------------------------|-------------------|------|------|------|------|------|--|
| Rupture de l'acier sans bras de levier | | | | | | | | |
| Résistance caractéristique, Classe 5.8 | $V_{Rk,s}$ [kN] | 9 | 15 | 21 | 39 | 61 | 88 | |
| Résistance caractéristique, Classe 8.8 | $V_{Rk,s}$ [kN] | 15 | 23 | 34 | 63 | 98 | 141 | |
| Résistance caractéristique, Classe 10.9 | $V_{Rk,s}$ [kN] | 18 | 29 | 42 | 79 | 123 | 156 | |
| Résistance caractéristique, A4-70 | $V_{Rk,s}$ [kN] | 13 | 20 | 30 | 55.0 | 86 | 124 | |
| Résistance caractéristique, HCR | $V_{Rk,s}$ [kN] | 15 | 23 | 34 | 62.8 | 98 | 124 | |
| Rupture de l'acier avec bras de levier | | | | | | | | |
| Résistance caractéristique, classe 5.8 | $M^0_{Rk,s}$ [Nm] | 19 | 37 | 66 | 167 | 326 | 561 | |
| Résistance caractéristique, classe 8.8 | $M^0_{Rk,s}$ [Nm] | 30.0 | 60 | 105 | 266 | 519 | 898 | |
| Résistance caractéristique, classe 10.9 | $M^0_{Rk,s}$ [Nm] | 38 | 75 | 131 | 333 | 649 | 893 | |
| Résistance caractéristique, A4-70 | $M^0_{Rk,s}$ [Nm] | 26 | 53 | 92 | 233 | 454 | 625 | |
| Résistance caractéristique, HCR | $M^0_{Rk,s}$ [Nm] | 30 | 60 | 105 | 266 | 519 | 786 | |
| Coefficient partiel de sécurité pour la rupture acier | | | | | | | | |
| Classe 5.8 ou 8.8 | $\gamma_{Ms,V}^{1)}$ [-] | 1,25 | | | | | | |
| Classe 10.9 | $\gamma_{Ms,V}^{1)}$ [-] | 1,50 | | | | | | |
| A4-70 | $\gamma_{Ms,V}^{1)}$ [-] | 1,56 | | | | | | |
| HCR | $\gamma_{Ms,V}^{1)}$ [-] | 1,25 | | | | | 1,75 | |
| Rupture du béton par effet de levier | | | | | | | | |
| Facteur dans l'équation (5.7) du TR 029 pour la conception des chevilles à scellement | k [-] | 2,0 | | | | | | |
| Coefficient partiel de sécurité | $\gamma_{Mcp}^{1)}$ [-] | 1,5 ²⁾ | | | | | | |
| Rupture du béton en bord de dalle³⁾ | | | | | | | | |
| Coefficient partiel de sécurité | $\gamma_{Mc}^{1)}$ [-] | 1,5 ²⁾ | | | | | | |

1) En l'absence de réglementation nationale.

2) Le coefficient partiel de sécurité $\gamma_2 = 1,0$ est inclus.

3) Rupture du béton en bord de dalle, voir § 5.2.3.4 du rapport technique TR 029.

EJOT Multifix VSF

Conception-calcul selon le TR 029

Résistance caractéristique en cisaillement pour les tiges filetées

Annexe C3

| EJOT Multifix VSF avec barres d'armature | Ø8 | Ø10 | Ø12 | Ø14 | Ø16 | Ø20 | Ø25 | |
|--|-----------------------------------|-------------------|------------|------------|------------|------------|------------|------|
| Rupture de l'acier sans bras de levier | | | | | | | | |
| Résistance caractéristique en cisaillement pour barres BSt 500 S selon DIN 488 ¹⁾ | $V_{Rk,s}$ [kN] | 14 | 22 | 31 | 42 | 55 | 86 | 135 |
| Coefficient partiel de sécurité pour barres BSt 500 S selon DIN 488 ²⁾ | $\gamma_{Ms,V}$ ³⁾ [-] | 1,5 | | | | | | |
| Rupture de l'acier avec bras de levier | | | | | | | | |
| Résistance caractéristique en cisaillement pour barres BSt 500 S selon DIN 488 ⁴⁾ | $M^0_{Rk,s}$ [Nm] | 33 | 65 | 112 | 178 | 265 | 518 | 1012 |
| Coefficient partiel de sécurité pour barres BSt 500 S selon DIN 488 ³⁾ | $\gamma_{Ms,V}$ ³⁾ [-] | 1,5 | | | | | | |
| Rupture du béton par effet de levier | | | | | | | | |
| Facteur dans l'équation (5.7) du TR 029 pour la conception des chevilles à scellement | k [-] | 2,0 | | | | | | |
| Coefficient partiel de sécurité | γ_{Mcp} ³⁾ [-] | 1,5 ⁵⁾ | | | | | | |
| Rupture du béton en bord de dalle ⁶⁾ | | | | | | | | |
| Coefficient partiel de sécurité | γ_{Mc} ³⁾ [-] | 1,5 ⁵⁾ | | | | | | |

- 1) La résistance caractéristique $V_{Rk,s}$ pour des barres d'armatures ne respectant pas les exigences de la DIN 488 doit être calculée selon le rapport technique TR029, Equation (5.6).
- 2) Le coefficient partiel de sécurité $\gamma_{Ms,V}$ pour des barres d'armatures ne respectant pas les exigences DIN 488 doit être calculé selon le rapport technique TR029, Equation (3.3b).ou (3.3c).
- 3) En absence de régulation nationale.
- 4) La résistance en flexion caractéristique $M^0_{Rk,s}$ pour des barres d'armatures ne respectant pas les exigences de la DIN 488 doit être calculé selon le rapport technique TR029, Equation (5.6b).
- 5) Le coefficient partiel de sécurité $\gamma_2 = 1,0$ est inclus.
- 6) Rupture du béton en bord de dalle, voir 5.2.3.4 du rapport technique TR 029.

| | |
|--|------------------|
| EJOT Multifix VSF | Annexe C4 |
| Conception-calcul selon le TR 029 | |
| Résistance caractéristique en cisaillement pour les fers à béton | |

| EJOT Multifix VSF avec tiges filetées | | | M 8 | M 10 | M 12 | M 16 | M 20 | M 24 |
|--|---|----------------------|----------------------|-------------------|-------------------|-------------------|-------------------|-------------------|
| Rupture de l'acier | | | | | | | | |
| Résistance caractéristique, classe 5.8 | $N_{Rk,s}$ | [kN] | 18 | 29 | 42 | 79 | 123 | 177 |
| Résistance caractéristique, classe 8.8 | $N_{Rk,s}$ | [kN] | 29 | 46 | 67 | 126 | 196 | 282 |
| Coefficient partiel de sécurité | $\gamma_{Ms,N}^{1)}$ | [-] | 1.50 | | | | | |
| Résistance caractéristique, classe 10.9 | $N_{Rk,s}$ | [kN] | 36 | 58 | 84 | 157 | 245 | 353 |
| Coefficient partiel de sécurité | $\gamma_{Ms,N}^{1)}$ | [-] | 1.40 | | | | | |
| Résistance caractéristique, A4-70 | $N_{Rk,s}$ | [kN] | 26 | 41 | 59 | 110 | 172 | 247 |
| Coefficient partiel de sécurité | $\gamma_{Ms,N}^{1)}$ | [-] | 1.87 | | | | | |
| Résistance caractéristique, HCR | $N_{Rk,s}$ | [kN] | 29 | 46 | 67 | 126 | 196 | 247 |
| Coefficient partiel de sécurité | $\gamma_{Ms,N}^{1)}$ | [-] | 1.5 | | | | | |
| Rupture combine par extraction-glisement et par cône de béton | | | | | | | | |
| Diamètre de la tige filetée | d | [mm] | 8 | 10 | 12 | 16 | 20 | 24 |
| Adhérence caractéristique dans le béton non fissuré C20/25 | | | | | | | | |
| Plage de température I ²⁾ : 40°C/24°C | $\tau_{Rk,uncr}$ | [N/mm ²] | 10.0 | 9.5 | 9.0 | 8.0 | 7.5 | 7.0 |
| Plage de température II ²⁾ : 80°C/50°C | $\tau_{Rk,uncr}$ | [N/mm ²] | 9.0 | 8.0 | 7.5 | 7.0 | 6.5 | 6.0 |
| Facteur d'augmentation de $\tau_{Rk,p}$ dans le béton non fissuré | ψ_c | C30/37 | 1,12 | | | | | |
| | | C40/50 | 1,23 | | | | | |
| | | C50/60 | 1,30 | | | | | |
| Adhérence caractéristique dans le béton fissuré C20/25 | | | | | | | | |
| Plage de température I ²⁾ : 40°C/24°C | $\tau_{Rk,cr}$ | [N/mm ²] | - ⁵⁾ | - ⁵⁾ | 3.5 | 3.5 | - ⁵⁾ | - ⁵⁾ |
| Plage de température II ²⁾ : 80°C/50°C | $\tau_{Rk,cr}$ | [N/mm ²] | - ⁵⁾ | - ⁵⁾ | 3.0 | 3.0 | - ⁵⁾ | - ⁵⁾ |
| Facteur d'augmentation de $\tau_{Rk,p}$ dans le béton fissuré | ψ_c | C30/37 | 1,04 | | | | | |
| | | C40/50 | 1,07 | | | | | |
| | | C50/60 | 1,09 | | | | | |
| Coeff. dans l'eq (8) du CEN/TS 1992-4-5 Section 6.2.2 | k_8 non cracked concrete | [-] | 10.1 | | | | | |
| | k_8 cracked concrete | [-] | 7.2 | | | | | |
| Rupture par cône de béton | | | | | | | | |
| Coefficient béton fissuré/non fissuré selon CEN/TS 1992-4-5 Section 6.2.3 | k_{ucr} | [-] | 10.1 | | | | | |
| | k_{cr} | [-] | 7.2 | | | | | |
| Distance caractéristique au bord libre | $C_{cr,N}$ | [-] | 1,5 h_{ef} | | | | | |
| Entraxe | $S_{cr,N}$ | [-] | 3,0 h_{ef} | | | | | |
| Rupture par fendage | | | | | | | | |
| Distance [mm] au bord $C_{cr,sp}$ pour | $h / h_{ef}^{3)} \geq 2,0$ | | 1,0 h_{ef} | | | | | |
| | $2,0 > h / h_{ef}^{3)} > 1,3$ | | 4,6 h_{ef} - 1,8 h | | | | | |
| | $h / h_{ef}^{3)} \leq 1,3$ | | 2,26 h_{ef} | | | | | |
| | | | | | | | | |
| Entraxe | $S_{cr,sp}$ | [mm] | 2 . $C_{cr,sp}$ | | | | | |
| Coefficient partiel de sécurité | $\gamma_{Mp} = \gamma_{Mc} = \gamma_{Msp}^{1)}$ | [-] | 1,5 ⁴⁾ | 1,5 ⁴⁾ | 1,5 ⁴⁾ | 1,5 ⁴⁾ | 1,5 ⁴⁾ | 1,5 ⁴⁾ |
| ¹⁾ En absence de régulation nationale ²⁾ Explications, voir Annexe B1 ³⁾ h . épaisseur de béton, h^{ef} ... profondeur d'ancrage effective ⁴⁾ Le coefficient partiel de sécurité $\gamma_2 = 1,0$ est inclus ⁵⁾ Non qualifié en béton fissuré | | | | | | | | |
| EJOT Multifix VSF | | | Annexe C5 | | | | | |
| Conception-calcul selon le CEN/TS 1992-4 | | | | | | | | |
| Résistance caractéristique en traction pour les tiges filetées | | | | | | | | |

| EJOT Multifix VSF avec barres d'armature | | | Ø8 | Ø10 | Ø12 | Ø14 | Ø16 | Ø20 | Ø25 |
|--|--|----------------------|--|-------------------|-------------------|-------------------|-------------------|-------------------|-------------------|
| Rupture de l'acier | | | | | | | | | |
| Résistance caractéristique en traction pour barres BSt 500 S selon DIN 488 ¹⁾ | $N_{Rk,s}$ | [kN] | 28 | 43 | 62 | 85 | 111 | 173 | 270 |
| Coefficient partiel de sécurité pour barres BSt 500 S selon DIN 488 ²⁾ | $\gamma_{Ms,N}$ ³⁾ | [-] | 1,4 | | | | | | |
| Rupture combiné par extraction-glisement et par cône de béton | | | | | | | | | |
| Diamètre des barres d'armature | d | [mm] | 8 | 10 | 12 | 14 | 16 | 20 | 25 |
| Adhérence caractéristique dans le béton non fissuré C20/25 | | | | | | | | | |
| Plage de température I ⁴⁾ : 40°C/24°C | τ_{Rk} | [N/mm ²] | 7,0 | 7,5 | 7,0 | 7,0 | 6,5 | 6,5 | 6,0 |
| Plage de température II ⁴⁾ : 80°C/50°C | τ_{Rk} | [N/mm ²] | 6.5 | 6.5 | 6,0 | 6,0 | 6,0 | 5,5 | 5,5 |
| Facteur d'augmentation de $\tau_{Rk,p}$ dans le béton non fissuré | ψ_c | C30/37 | 1,12 | | | | | | |
| | | C40/50 | 1,23 | | | | | | |
| | | C50/60 | 1,30 | | | | | | |
| Coeff. dans l'eq (8) du CEN/TS 1992-4-5 Section 6.2.2 | k_8 béton non fissuré | [-] | 10.1 | | | | | | |
| Rupture par cône de béton | | | | | | | | | |
| Coefficient béton fissuré/non fissuré selon CEN/TS 1992-4-5 Section 6.2.3 | k_{ucr} | [-] | 10.1 | | | | | | |
| Rupture par fendage | | | | | | | | | |
| Distance [mm] au bord $c_{cr,sp}$ pour | $h / h_{ef}^{5)} \geq 2,0$ | | 1,0 h_{ef} | | | | | | |
| | $2,0 > h / h_{ef}^{5)} > 1,3$ | | 4,6 h_{ef} - 1,8 h | | | | | | |
| | $h / h_{ef}^{5)} \leq 1,3$ | | 2,26 h_{ef} | | | | | | |
| Entraxe | | | $s_{cr,sp}$ | 2 $c_{cr,sp}$ | | | | | |
| Coefficient partiel de sécurité | $\gamma_{Mp} = \gamma_{Mc} = \gamma_{Msp}$ ³⁾ | [-] | 1,8 ⁶⁾ | 1,8 ⁶⁾ | 1,8 ⁶⁾ | 1,8 ⁶⁾ | 1,8 ⁶⁾ | 1,8 ⁶⁾ | 1,8 ⁶⁾ |

1) La résistance caractéristique $N_{Rk,s}$ pour des barres d'armatures ne respectant pas les exigences de la DIN 488 doit être calculée selon le rapport technique TR029, Equation (5.1).

2) Le coefficient partiel de sécurité $\gamma_{Ms,N}$ pour des barres d'armatures ne respectant pas les exigences de la DIN 488 doit être calculée selon le rapport technique TR029, Equation (3.3a).

3) En absence de régulation nationale

4) Explications, voir Annexe B1

5) h. épaisseur de béton, h_{ef} profondeur d'ancrage effective

6) Le coefficient partiel de sécurité $\gamma_2 = 1,2$ est inclus

EJOT Multifix VSF

Conception-calcul selon le CEN/TS 1992-4

Résistance caractéristique en traction pour les fers à béton

Annexe C6

| EJOT Multifix VSF avec tiges filetées | | M 8 | M 10 | M 12 | M 16 | M 20 | M 24 | |
|---|--------------------------|-------------------|------|------|------|------|------|--|
| Rupture de l'acier sans bras de levier | | | | | | | | |
| Résistance caractéristique, Classe 5.8 | $V_{Rk,s}$ [kN] | 9 | 15 | 21 | 39 | 61 | 88 | |
| Résistance caractéristique, Classe 8.8 | $V_{Rk,s}$ [kN] | 15 | 23 | 34 | 63 | 98 | 141 | |
| Résistance caractéristique, Classe 10.9 | $V_{Rk,s}$ [kN] | 18 | 29 | 42 | 79 | 123 | 156 | |
| Résistance caractéristique, A4-70 | $V_{Rk,s}$ [kN] | 13 | 20 | 30 | 55.0 | 86 | 124 | |
| Résistance caractéristique, HCR | $V_{Rk,s}$ [kN] | 15 | 23 | 34 | 62.8 | 98 | 124 | |
| Rupture de l'acier avec bras de levier | | | | | | | | |
| Résistance caractéristique, Classe 5.8 | $M^0_{Rk,s}$ [Nm] | 19 | 37 | 66 | 167 | 326 | 561 | |
| Résistance caractéristique, Classe 8.8 | $M^0_{Rk,s}$ [Nm] | 30.0 | 60 | 105 | 266 | 519 | 898 | |
| Résistance caractéristique, Classe 10.9 | $M^0_{Rk,s}$ [Nm] | 38 | 75 | 131 | 333 | 649 | 893 | |
| Résistance caractéristique, A4-70 | $M^0_{Rk,s}$ [Nm] | 26 | 53 | 92 | 233 | 454 | 625 | |
| Résistance caractéristique, HCR | $M^0_{Rk,s}$ [Nm] | 30 | 60 | 105 | 266 | 519 | 786 | |
| Coefficient partiel de sécurité | | | | | | | | |
| Classe 5.8 ou 8.8 | $\gamma_{Ms,V}^{1)}$ [-] | 1,25 | | | | | | |
| Classe 10.9 | $\gamma_{Ms,V}^{1)}$ [-] | 1,50 | | | | | | |
| A4-70 | $\gamma_{Ms,V}^{1)}$ [-] | 1,56 | | | | | | |
| HCR | $\gamma_{Ms,V}^{1)}$ [-] | 1,25 | | | | | 1,75 | |
| Rupture du béton par effet de levier | | | | | | | | |
| Coefficient selon CEN/TS 1992-4-5 section 4.3.3 | k_3 [-] | 2,0 | | | | | | |
| Coefficient partiel de sécurité | $\gamma_{Mcp}^{1)}$ [-] | 1,5 ²⁾ | | | | | | |
| Rupture du béton en bord de dalle | | | | | | | | |
| Coefficient partiel de sécurité | $\gamma_{Mc}^{1)}$ [-] | 1,5 ²⁾ | | | | | | |

1) En l'absence de réglementation nationale
 2) Le coefficient partiel de sécurité $\gamma_2 = 1,0$ est inclus

| | |
|--|------------------|
| EJOT Multifix VSF | Annexe C7 |
| Conception-calcul selon le CEN/TS 1992-4 | |
| Résistance caractéristique en cisaillement pour les tiges filetées | |

| EJOT Multifix VSF avec barres d'armature | | | Ø8 | Ø10 | Ø12 | Ø14 | Ø16 | Ø20 | Ø25 |
|--|-------------------------------|------|-------------------|-----|-----|-----|-----|-----|------|
| Rupture de l'acier sans bras de levier | | | | | | | | | |
| Résistance caractéristique en cisaillement pour barres BSt 500 S selon DIN 488 ¹⁾ | $V_{Rk,s}$ | [kN] | 14 | 22 | 31 | 42 | 55 | 86 | 135 |
| Coefficient partiel de sécurité pour barres BSt 500 S selon DIN 488 ²⁾ | $\gamma_{Ms,V}$ ³⁾ | [-] | 1,5 | | | | | | |
| Rupture de l'acier avec bras de levier | | | | | | | | | |
| Résistance caractéristique en cisaillement pour barres BSt 500 S selon DIN 488 ¹⁾ | $M^0_{Rk,s}$ | [Nm] | 33 | 65 | 112 | 178 | 265 | 518 | 1012 |
| Coefficient partiel de sécurité pour barres BSt 500 S selon DIN 488 ²⁾ | $\gamma_{Ms,V}$ ³⁾ | [-] | 1,5 | | | | | | |
| Rupture du béton par effet de levier | | | | | | | | | |
| Coefficient selon CEN/TS 1992-4-5 section 4.3.3 | k_3 | [-] | 2,0 | | | | | | |
| Coefficient partiel de sécurité | γ_{Mcp} ³⁾ | [-] | 1,5 ⁵⁾ | | | | | | |
| Rupture du béton en bord de dalle | | | | | | | | | |
| Coefficient partiel de sécurité | γ_{Mc} ³⁾ | [-] | 1,5 ⁵⁾ | | | | | | |

- 1) La résistance caractéristique $V_{Rk,s}$ pour des barres d'armatures ne respectant pas les exigences de la DIN 488 doit être calculée selon le rapport technique TR029, Equation (5.6).
- 2) Le coefficient partiel de sécurité $\gamma_{Ms,V}$ pour des barres d'armatures ne respectant pas les exigences DIN 488 doit être calculé selon le rapport technique TR029, Equation (3.3b).ou (3.3c).
- 3) En absence de régulation nationale.
- 4) La résistance en flexion caractéristique $M^0_{Rk,s}$ pour des barres d'armatures ne respectant pas les exigences de la DIN 488 doit être calculé selon le rapport technique TR029, Equation (5.6b).
- 5) Le coefficient partiel de sécurité $\gamma_2 = 1,0$ est inclus.

EJOT Multifix VSF

Conception-calcul selon le CEN/TS 1992-4

Résistance caractéristique en cisaillement pour les fers à béton

Annexe C8

Déplacements sous charge de traction ¹⁾

| EJOT Multifix VSF avec tiges filetées | | M8 | M10 | M12 | M16 | M20 | M24 |
|---|--|------|------|------|------|------|------|
| Plage de température I ⁷⁾: 40°C / 24°C, béton non fissuré C20/25 | | | | | | | |
| Déplacement | δ_{N0} [mm/(N/mm ²)] | 0,03 | 0,03 | 0,04 | 0,05 | 0,06 | 0,07 |
| Déplacement | $\delta_{N\infty}$ [mm/(N/mm ²)] | 0,07 | 0,09 | 0,10 | 0,13 | 0,17 | 0,20 |
| Plage de température II ⁷⁾: 80°C / 50°C, béton non fissuré C20/25 | | | | | | | |
| Déplacement | δ_{N0} [mm/(N/mm ²)] | 0,04 | 0,04 | 0,05 | 0,07 | 0,08 | 0,10 |
| Déplacement | $\delta_{N\infty}$ [mm/(N/mm ²)] | 0,10 | 0,13 | 0,15 | 0,19 | 0,23 | 0,28 |
| Plage de température I ⁷⁾: 40°C / 24°C, béton fissuré C20/25 | | | | | | | |
| Déplacement | δ_{N0} [mm/(N/mm ²)] | - | - | 0,12 | 0,09 | - | - |
| Déplacement | $\delta_{N\infty}$ [mm/(N/mm ²)] | - | - | 0,64 | 0,55 | - | - |
| Plage de température II ⁷⁾: 80°C / 50°C, béton fissuré C20/25 | | | | | | | |
| Déplacement | δ_{N0} [mm/(N/mm ²)] | - | - | 0,17 | 0,13 | - | - |
| Déplacement | $\delta_{N\infty}$ [mm/(N/mm ²)] | - | - | 0,90 | 0,78 | - | - |

| EJOT Multifix VSF avec barres d'armature | | Ø8 | Ø10 | Ø12 | Ø14 | Ø16 | Ø20 | Ø25 |
|---|--|------|------|------|------|------|------|------|
| Plage de température I ⁹⁾: 40°C / 24°C | | | | | | | | |
| Déplacement | δ_{N0} [mm/(N/mm ²)] | 0,03 | 0,03 | 0,04 | 0,04 | 0,05 | 0,06 | 0,07 |
| Déplacement | $\delta_{N\infty}$ [mm/(N/mm ²)] | 0,07 | 0,09 | 0,10 | 0,12 | 0,13 | 0,17 | 0,20 |
| Plage de température II ⁹⁾: 80°C / 50°C | | | | | | | | |
| Déplacement | δ_{N0} [mm/(N/mm ²)] | 0,04 | 0,04 | 0,05 | 0,06 | 0,07 | 0,08 | 0,10 |
| Déplacement | $\delta_{N\infty}$ [mm/(N/mm ²)] | 0,10 | 0,13 | 0,15 | 0,17 | 0,19 | 0,23 | 0,29 |

¹⁾ Calcul des déplacements sous charge de service: τ_{Sd} contrainte d'adhérence due aux actions

Déplacement sous charge court terme = $\delta_{N0} \cdot \tau_{Sd}/1,4$

Déplacement sous charge long terme = $\delta_{N\infty} \cdot \tau_{Sd}/1,4$

Déplacements sous charge de cisaillement ²⁾

| EJOT Multifix VSF avec tiges filetées | | M8 | M10 | M12 | M16 | M20 | M24 |
|---------------------------------------|----------------------------|------|------|------|------|------|------|
| Déplacement | δ_{V0} [mm/kN] | 0,06 | 0,06 | 0,05 | 0,04 | 0,04 | 0,03 |
| Déplacement | $\delta_{V\infty}$ [mm/kN] | 0,09 | 0,08 | 0,08 | 0,06 | 0,06 | 0,05 |

| EJOT Multifix VSF avec barres d'armature | | Ø8 | Ø10 | Ø12 | Ø14 | Ø16 | Ø20 | Ø25 |
|--|----------------------------|------|------|------|------|------|------|------|
| Déplacement | δ_{V0} [mm/kN] | 0,06 | 0,05 | 0,05 | 0,04 | 0,04 | 0,04 | 0,03 |
| Déplacement | $\delta_{V\infty}$ [mm/kN] | 0,09 | 0,08 | 0,07 | 0,06 | 0,06 | 0,05 | 0,05 |

²⁾ Calcul des déplacements sous charge de service: V_{Sd} contrainte d'adhérence due aux actions de cisaillement

Déplacement sous charge court terme = $\delta_{V0} \cdot V_{Sd}/1,4$

Déplacement sous charge long terme = $\delta_{V\infty} \cdot V_{Sd}/1,4$

EJOT Multifix VSF

Conception-calcul

Déplacements pour les tiges filetées et les fers à béton

Annexe C9